

# Transferrin İzoformlarının Analizinde İki Elektroforez Sisteminin Karşılaştırılması

## *Comparison of Two Different Electrophoresis Systems in Transferrin Isoform Analysis*

Öznur Bilen\*    Özlem Gürsoy Çalan\*\*    Zekiye Sultan Altun\*\*\*  
Pınar Akan\*\*    Canan Çoker\*\*

\* Muğla Sıtkı Koçman Üniversitesi Eğitim Araştırma Hastanesi, Tıbbi Biyokimya, MUĞLA, Türkiye

\*\* Dokuz Eylül Üniversitesi Tıp Fakültesi, Tıbbi Biyokimya Anabilim Dalı, İZMİR, Türkiye

\*\*\* Dokuz Eylül Üniversitesi Tıp Fakültesi, Onkoloji Enstitüsü Temel Onkoloji Anabilim Dalı, İZMİR, Türkiye

**Başvuru Tarihi:** 07 Nisan 2016

**Kabul Tarihi:** 18 Nisan 2016

### ÖZET

**Amaç:** Proteinlerin glikozilasyonunun konjenital veya edinsel olarak bozulduğu durumlarda, tanı amaçlı olarak transferrin izoformlarının analizi gerçekleştiriliyor. Transferrin izoformlarının analizi için referans yöntem izoelektrik odaklı elektroforezidir. Biz de bu çalışma ile laboratuvarımızda iki farklı sistem kullanarak izoelektrik odaklı elektroforez ile transferrin izoformlarının elektroforetik ayrimını yapmayı ve kullanılan sistemleri karşılaştırmayı amaçladık.

**Gereç ve Yöntem:** Transferrin izoformlarının analizi, "Multiphor II" ve "PhastSystem" sistemleri ile gerçekleştirildi. İki farklı düzey ticari kontrol materyali kullanılarak analitik performanslar değerlendirildi. Ayrıca, toplam 40 olgudan alınan örnekler her iki cihazda da çalışılarak sonuçlar regresyon analizi ile karşılaştırıldı.

**Bulgular:** "Multiphor II" ve "PhastSystem" ile di- ve tetrasiyalotransferrin izoformlarının için jel içi tekrarlanabilirlik sırasıyla < % 3,5 (n=7) ve < % 7 (n=8); jeller arası tekrarlanabilirlik ise sırasıyla < % 7 (n=20) ve < % 6 (n=10) olarak bulundu. İki düzeyli kalite kontrol materyalinde "PhastSystem" ile disiyalo izoformları için % 9,69 ve %9,27 oranında daha yüksek, tetrasiyalotransferrin izoformları için % 1,33 ve %2,15 oranında daha yüksek sonuçlar bulundu. İki sistem arasındaki korelasyonun değerlendirilmesinde (n=40); di- ve tetrasiyalotransferrin izoformları için korelasyon katsayıları sırasıyla 0,85 ve 0,64 olarak saptandı.

**Sonuç:** Transferrin izoformlarının izoelektrik odaklı elektroforezi ile analizinde "Multiphor II" ve "PhastSystem" cihazları ile benzer doğruluk ve kesinlik değerleri elde edilmektedir. İki sistem arasındaki korelasyonun da tüm izoformlar açısından anlamlı bulunduğu göz önüne alınarak daha hızlı sonuç vermesi nedeniyle "PhastSystem" cihazının tercih edilebileceği belirlendi.

**Anahtar Kelimeler:** Transferrin; izoelektrik odaklı elektroforez; glikozilasyon

**ABSTRACT**

**Objective:** Transferrin isoform analysis is performed for diagnosis of congenital or acquired defects in protein glycosylation. The reference method for transferrin isoform analysis is isoelectric focusing electrophoresis. The objective of this study has been to perform transferrin isoform analysis using two different electrophoresis systems in our laboratory and to compare the two systems.

**Materials and Methods:** The isoelectric focusing electrophoresis of transferrin isoforms was performed by "Multiphor II" ve "PhastSystem". The analytical performance was evaluated using a commercially available quality control material at two different levels. The two systems were compared with regression analysis with blood samples obtained from 40 patients.

**Results:** In isoelectric focusing method by "Multiphor II" system the coefficients of variation (CV) were determined to be < 3.5 % for within run (n=7) and < 7 % for between run (n=20) imprecision considering di- and tetrasialotransferrin isoforms in two levels of control material. The same values for "PhastSystem" were < 7% (n=8) and < 6% (n=10) respectively. In IEF with "PhastSystem", disialotransferrin isoforms were determined to be 9.69% and 9.27% higher while tetrasialotransferrin isoforms were determined to be 1.33% and 2.15% higher compared to "Multiphor II" at low and high levels of control material respectively. In the regression analysis (n=40) coefficients of correlation for di- ve tetrasialotransferrin isoforms were determined to be 0,85 ve 0,64 respectively.

**Conclusion:** Transferrin isoform analysis with isoelectric focusing electrophoresis can be performed precisely with similar accuracy with both "Multiphor II" and "PhastSystem". In routine laboratory practice "PhastSystem" may be preferred due to its speed.

**Key words:** transferrin; isoelectric focusing ; glycosylation.

**GİRİŞ**

Glikozilasyon en sık görülen post-translasyonel modifikasyon reaksiyonlarından biridir ve ökaryotlardaki bilinen proteinlerin yaklaşık yarısı glikoziledir (1). Glikoproteinlerin oligosakkart yapısı (glikan); hücre adezyonu, migrasyonu, hücre büyümesi (1-3), hücre yüzeyinin tanınması (hormonlar, virusler ve başka hücreler tarafından), hücre yüzey antijenitesi (örneğin kan grubu抗原leri) (4) gibi birçok fizyolojik durumla yakından ilişkilidir. Glukokonjugatların biyosentezindeki enzimleri kodlayan genlerdeki mutasyonlar sonucu ortaya çıkan doğumsal metabolik hastalıklar Konjenital Glikozilasyon Bozuklukları (CDG) olarak tanımlanır (5-7). CDG'lerin çoğu heterojen klinik tablolar ile ortaya çıkabilecek multisistemik hastalıklardır (8). Ayrıca, glikozilasyon süreci; inflamasyon, romatoid artrit, kanser (3), gebelik, karaciğer hastalığı (9), herediter früktoz intoleransı ve galaktozemi (10, 11), sepsis (12, 13) ve kronik alkol kullanımı (14, 15) gibi sekonder nedenlere bağlı olarak da bozulabilir. Son zamanlarda anoreksiya nevroza ya da malnutrisyon gibi katabolik durumla seyreden hastalık-

larda da protein glikozilasyonunun etkilenliğine dair yayınlar bulunmaktadır (16-18).

Glikozilasyonun karmaşık mekanizmasının anlaşılmaması ve bozukluklarının aydınlatılabilmesi için şimdiden kadar birçok glikoprotein üzerinde çalışma yapılmıştır. Bu glikoproteinlerin içinde tanı amaçlı kullanıma en uygun olan ve en sık analiz edilen ise transferrin (TRF) dir (7, 8). Çünkü TRF'nin glikan yapıları tanımlanmış ve glikozilasyon bölgelerinin sayısı belirlenmiştir. Glikozilasyon mekanizması ise göreceli olarak daha basittir (7). TRF, tek polipeptid zinciri, iki ayrı metal iyonu bağlama bölgesi (biri N-terminal, biri C-terminal bölgesinde olmak üzere) ve iki N-bağılı kompleks glikan zinciri olmak üzere üç ayrı yapısal bölümden oluşur. TRF molekülü 3 ayrı yapısal bölümden oluşmasının bir sonucu olarak; farklı kişilerde çeşitli TRF varyantları (polipeptid zincirinde farklılıklar) görülebilir, farklı sayıda demir iyonu bağlayabilir veya farklı sayıda SA içerebilir. Bu durum TRF mikroheterojenitesinden sorumludur (14). Her iki glikan zincirinin dallanma dereceleri "bi-, tri- ve tetraantennary" olmak üzere farklılık gösterebilir ve her biri negatif (-) yüklü bir SA molekülü ile

sonlanır. Böylece serumda asiyalotransferrin (SA içermeyen) ve siyalotransferrin (monosiyalotransferrinden oktasiyalotransferrine kadar) izoformları oluşur. Sağlıklı kişilerde en çok olan izoform tetrasiyalotransferrindir (14).

Glikan zincirlerinden birinin veya ikisinin birinden yokluğuyla oluşan; a-, mono- ve disiyalotransferrin içeren gruba ise "karbohidrat eksik transferrin" (CDT) denir (19). CDT bilimsel literatürde ilk kez 1976 yılında Stibler ve Kjellin tarafından, alkoliklerin serum ve BOS'larında rapor edilmiştir (20). Son 10 yıl içinde, CDT alkol kullanımını gösteren önemli bir belirleyici olmuştur (21). CDT düzeyleri alkol alımının yanı sıra cinsiyet, yaş, sigara kullanımı, obezite, serum demir ve insülin düzeyi gibi birçok faktörden etkilenebilir.

TRF izoform analizinde kullanılan yöntemlerin çoğu kromatografi ve elektroforez esasına dayanır (22, 23). TRF izoformlarının analizinde, yüksek selektivitesi nedeniyle izoelektrik fokuslama elektroforezi (IEF) referans yöntem olarak kullanılır (19). IEF yöntemi ile serum ve plazmadaki normal patern; CDG'lı hastalarda ortaya çıkan paternler ve yanı sıra TRF varyantlarının olduğu durumlardaki paternler birbirinden ayırt edilebilir (24, 25).

IEF yönteminin prensibi, moleküllerin uygun pH gradiente içinde izoelektrik noktalarına (pI) eş değer bölgeye ulaşıncaya kadar göç etmeleri ve o noktada keskin bir bant oluşturmalari bir başka deyişle kendi pI'larında odaklanmalarıdır (26). Izoelektrik fokuslama elektroforezinin kullanımı proteinler, enzimler ve peptidler gibi yüklü moleküllerle sınırlıdır. Proteinin net yükünü belirlememe, aminoasit yan zincirlerinin pozitif ve negatif yüklerinin toplamı ve üç boyutlu konfigürasyonları önemlidir. Gliko ve nükleoproteinler gibi kompleks proteinlerin yükleri ise yapılarındaki şeker ya da nükleik asitlerden etkilenir. İki proteinin IEF'de ayrılmaları için izoelektrik noktaları arasında en az 0.02 pH ünitesi fark olması gereklidir (26). Transferrin izoformlarının pI değerleri arasındaki farkın 0.1 pH ünitesi olduğu bildirilmiştir. Örneğin: asiyalotransferrin için pI: 5.9, mo-

nosiyalotransferrin için pI: 5.8, disiyalotransferrin için pI: 5.7 dir. IEF yöntemi bir "end-point" metotdur. Protein izoelektrik noktasına ulaştığında zamandan bağımsız olarak o noktada sabit kalır. Bu odaklanma etkisi sayesinde keskin protein zonları ve yüksek rezolüsyon elde edilir (27).

Bu çalışmada transferrin izoformlarının analizi için IEF yönteminin kurulması, yöntem performansının ortaya konması ve IEF yöntemine dayalı iki sistemin birbiri ile karşılaştırılması hedeflenmiştir.

## GEREÇ ve YÖNTEM

Transferrin izoformlarının analizi, "Multiphor II" elektroforez cihazı (GE Healthcare, 18-1018-06) ile ve daha hızlı ve otomatize bir sistem olan "PhastSystem" cihazı (GE Healthcare, 18-1018-24) ile gerçekleştirildi.

Kontrol materyali olarak % CDT-TİA Kontrol Seti (Recipe 21082) kullanıldı. Hasta örnek bazlı yöntem karşılaştırma için pediatrik yaş grubundaki (6 ay- 5 yaş) 40 olgudan elde edilen serum örnekleri kullanıldı. Bu örneklerin 9'u CDG şüphesi olan ve transferrin izoform paterninde anormallikler saptanan, 10'u malnutrisyon tanısı konmuş ve dolayısıyla katabolik süreçte bulunan ve kalan 21'i sağlıklı çocukların elde edilmiştir. Olguların periferik venlerinden 10 mL'lik kırmızı kapaklı tüplere kan örneği alındıktan sonra yarı saat içinde 1500 g'de 10 dk santrifüj edilerek serumları ayrıldı ve çalışılacakları güne kadar -70 °C'de saklandı.

### IEF Yöntemi ile "Multiphor II" Elektroforez Cihazunda Transferrin Izoformlarının Analizi

**Örnek hazırlığı:** 50 µL serum, 3 µL 0,5 M NaHCO<sub>3</sub>, 3 µL 10 mM Fe+3 sitrat ve 444 µL hidrasyon çözeltisi karıştırıldı. Hazırlanan örnekler ekim yapmadan önce 2 dakika 1500 g'de santrifüj edildi.

Bu yöntemde pH değeri 4.0-7.0 olan immobilize poliakrilamid kuru plak jeller (GE Healthcare, 80-1128-28) kullanıldı. Jel, rehidrasyonun ardından, ıslısı 15°C'ye kadar dökülen seramik tablanın üzerine yerleş-

tirilerek, prefokuslama ve ardından örnek ekimi ( $3 \mu\text{L}$ ) gerçekleştirildi. Örnek ekim hatları arasında negatif kontrol olarak "bovine" serum albumini kullanıldı. Prefokuslama için 3500Vh (volt saat) güç uygulandı, bu işlem bir saat 15 dakika sürdü.

Daha sonra 100 Vh den başlayarak 9000 Vh e ulaşan bir program ile 3 saat 15 dakika boyunca yüksek voltaj altında IEF işlemi tamamlandıktan sonra poliklonal tavşan anti-human TRF antikoru (Dako A0061) ile bantların immunopresipitasyonu sağlandı. Boyama işlemi CBB G250 protein boyası (Amresco 6104-58-1) ile manuel olarak gerçekleştirildi (28-32).

### **IEF Yöntemi ile "PhastSystem" Elektroforez Cihazında Transferrin İzoformlarının Analizi**

**Örnek hazırlığı:**  $10 \mu\text{L}$  serum,  $10 \mu\text{L}$   $200 \mu\text{M}$   $\text{Fe}^{+3}$  sitrat ve  $30 \mu\text{L}$  saf su ile karıştırıldı. Oda ısısında 10 dakika inkübe edildi. Daha sonra tekrar saf su ile 1:25 oranında dilüe edildi.

Bu yöntemde pH değeri 4-6.5 olan poliakrilamid jeller (GE Healthcare, 17-0544-01) kullanıldı. "PhastSystem" cihazının "separation" ünitesinde prefokuslama ve ardından örnek ekimi ( $0,5 \mu\text{L}$ ) gerçekleştirildi. Prefokuslama için 73 Vh güç uygulandı. Daha sonra 185 Vh e ulaşan bir program ile yaklaşık bir saatte IEF işlemi tamamlandıktan sonra poliklonal tavşan anti-human TRF antikoru ile bantların immunopresipitasyonu sağlandı. Boyama işlemi, cihazın "development" ünitesinde gümüş nitrat (Fluka 85228) ile gerçekleştirildi (33, 34).

### **Transferrin İzoformlarının Kantitasyonu**

Jeller "Image Scanner 2, 100-240 V" görüntü tarayıcı ile tarandı. Bu işlem "Phast" jeller için gümüş boyamaya uygun, red filtre kullanılarak ve 600 dpi (dot per inch) çözünürlükte, "ImmobilineTM Dry Plate" jeller için ise CBB

G250 boyamaya uygun, blue filtre kullanılarak ve 600 dpi çözünürlükte gerçekleştirildi. TRF izoformlarının kantitasyonu için görüntü analiz programı olan "ImageMaster 1D Elite Software" kullanıldı. Arka plan etkisini en aza indirmek amacıyla, band seçiminden önce "manual background subtraction" işlemi yapıldı. "Phast" jellerde her hatta asiyalotransferrinden hekzasiyalotransferrine kadar 7 bant, "ImmobilineTM Dry Plate" jellerde ise asiyalotransferrinden heptasiyalotransferrine kadar 8 bant saptandı. Bant seçimi de "manual" olarak yapıldı. Sonuçlar "TRF izoform yüzdesi" olarak verildi.

Her iki cihazda jel içi ("PhastSystem" ile  $n=8$ , "Multiphor II" cihazı ile  $n=7$ ) ve jeller arası tekrarlanabilirlik deneyi ("PhastSystem" ile  $n=10$ , "Multiphor II" cihazı ile  $n=20$ ) iki farklı düzey kontrol materyali kullanılarak gerçekleştirildi.

Transferrin varyantlarından kaynaklanabilecek interferansları ortaya koymak için iki farklı düzeydeki kontrol ve iki şüpheli örnek nöraminidaz ile muamele edildikten sonra IEF uygulandı.

Total transferrin ile disiyalo ve tetrasiyotransferrin arasındaki ilişki ve iki farklı elektroforez sistemi arasındaki ilişki Pearson korelasyon analizi ile değerlendirildi. Yöntem差别 tırmada ortalamalar arasındaki farkı değerlendirmek için bağımlı grplarda t testi gerçekleştirildi.

### **BULGULAR**

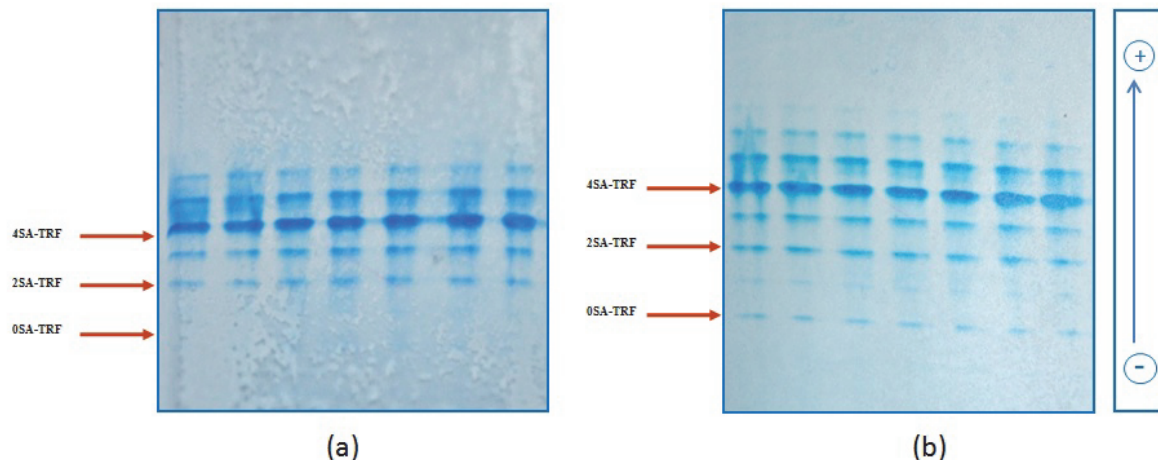
"Multiphor II" ve "PhastSystem" cihazlarında kontrol materyali ile yapılan jel içi ve jeller arası tekrarlanabilirlik değerleri (%CV) Tablo 1 ve 2'de verilmiş olup jellere ait görüntüler Şekil 1 ve 2' de görülmektedir.

**Tablo 1.** "Multiphor II" cihazında yapılan jel içi ve jeller arası tekrarlanabilirlik.

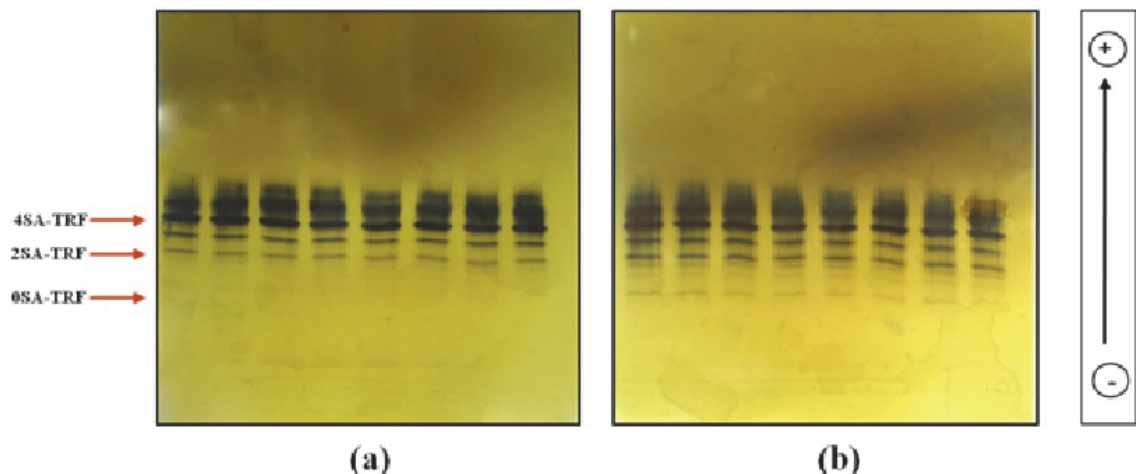
<b>Jel içi Tekrarlanabilirlik (% CV)</b>			<b>Jeller arası Tekrarlanabilirlik (% CV)</b>		
<b>Seviye</b>	<b>2SA-TRF</b>	<b>4SA-TRF</b>	<b>Seviye</b>	<b>2SA-TRF</b>	<b>4SA-TRF</b>
<b>1 (n=7)</b>	<b>3,47</b>	<b>1,88</b>	<b>1 (n=20)</b>	<b>6,44</b>	<b>3,88</b>
<b>2 (n=7)</b>	<b>3,10</b>	<b>1,92</b>	<b>2 (n=20)</b>	<b>7,04</b>	<b>3,21</b>

**Tablo 2.** "PhastSystem" cihazında yapılan jel içi ve jeller arası tekrarlanabilirlik

Jel içi Tekrarlanabilirlik (% CV)			Jeller arası Tekrarlanabilirlik (% CV)		
Seviye	2SA-TRF	4SA-TRF	Seviye	2SA-TRF	4SA-TRF
<b>1</b> (n=8)	4,49	1,19	<b>1</b> (n=10)	5,27	3,15
<b>2</b> (n=8)	6,96	0,99	<b>2</b> (n=10)	6,05	2,89



**Şekil 1.** "Multiphor II" sisteminde yapılan jel içi tekrarlanabilirlik analizleri: (a) 1.seviye kontrol (b) 2. seviye kontrol



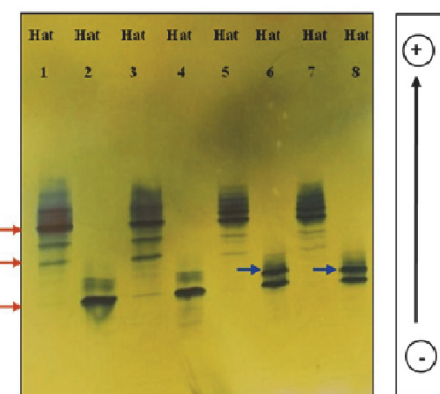
**Şekil 2.** "PhastSystem" cihazı ile yapılan jel içi tekrarlanabilirlik analizleri: (a) 1.seviye kontrol (b) 2. seviye kontrol

"PhastSystem" ve "Multiphor II" cihazları için aynı kontrol materyalinin ardışık analizi ile bandların ortalama değerleri belirlendi. Bu değerler kıyaslandığında "PhastSystem" cihazının "Multiphor II" sistemine göre disiyalotransferrin ve tetrasiyalotransferrin için gösterdiği farklar Tablo 3'te verilmektedir.

Transferrin varyantlarından kaynaklanabilecek interferansları ortaya koymak için iki farklı düzeydeki kontrol ve iki şüpheli örnek nöraminidaz ile muamele edilerek tekrar transferrin izoformları belirlendi. TRF varyantından kaynaklandığı düşünülen ekstra bant görüntülerini Şekil 3' te görmektedir.

Total transferrin ile disiyalotransferrin arasında anlamlı pozitif ( $p=0,022$ ,  $r=0,283$ ); total transferrin ile tetrasiyalotransferrin arasında anlamlı negatif ( $p=0,025$ ,  $r= -0,278$ ) korelasyon bulundu.

Hasta örnek bazlı yöntem karşılaştırma için 40 olgunun serumları "Multiphor II" ve "PhastSystem" ile IEF yapılarak regresyon analizi yapıldı ve her izoform için grafikler oluşturularak iki sistem arasındaki korelasyon dereceleri belirlendi. En yüksek korelasyonu 2-SA ve 3-SA izoformları (sırasıyla  $r = 0,84$  ve  $0,77$ ) gösterdi. Tüm izoformlar için korelasyon anlamlı idi ( $p<0,05$ ). Her bir izoform için iki cihazda bulunan sonuçların ortalamaları arasında anlamlı fark yoktu ( $p>0,05$ ). (Tablo 4 ve Şekil 4).



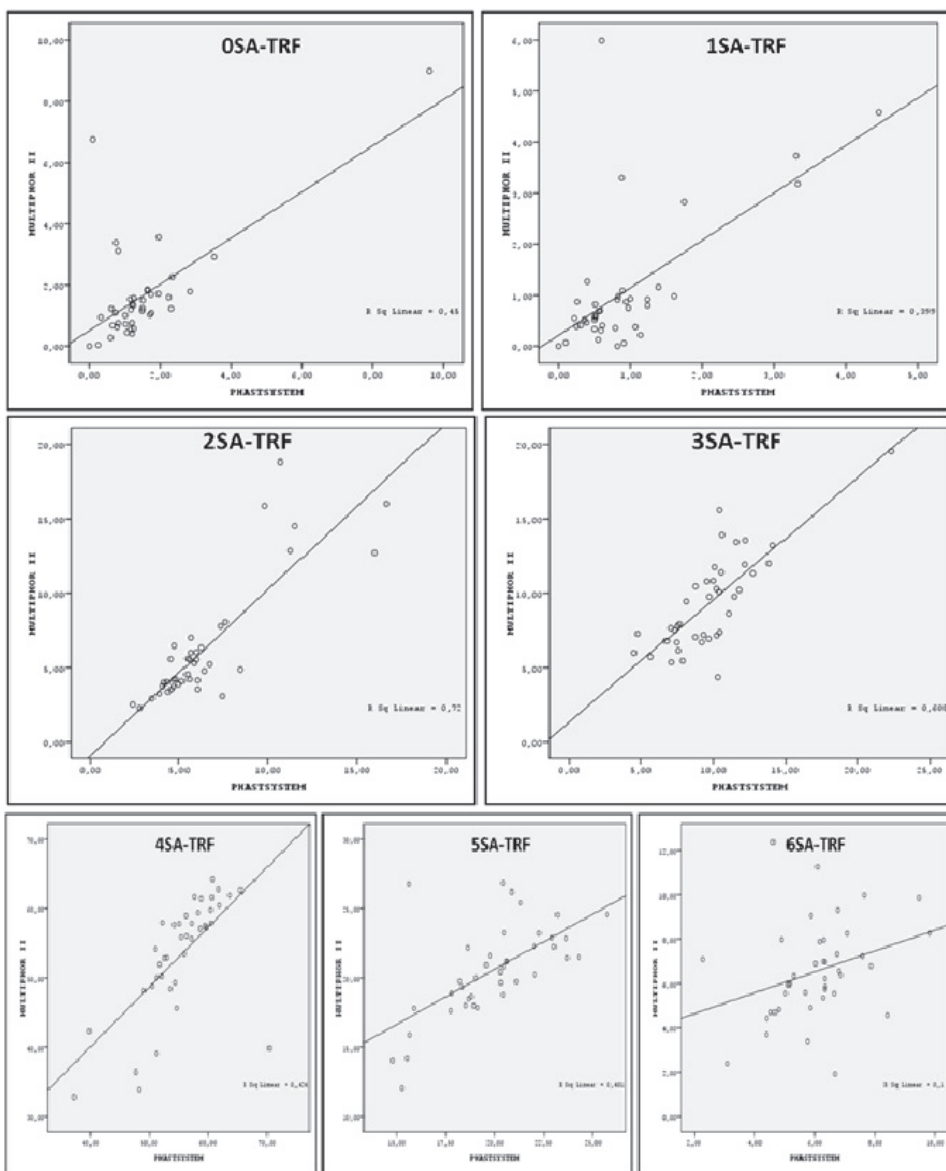
**Şekil 3.** Nöraminidaz ile işleme ardından elde edilen İEF jel görünümü. Hat 1: 1.seviye kontrol, Hat 2: 1.seviye kontrol+nöraminidaz, Hat 3: 2.seviye kontrol, Hat 4: 2.seviye kontrol+ nöraminidaz, Hat 5: TRF varyant (?) olgu 1, Hat 6: TRF varyant (?) olgu 1+ nöraminidaz, Hat 7: TRF varyant (?) olgu 2, Hat 8: TRF varyant (?) olgu 2+ nöraminidaz. Mavi ok ile işaretli bölgeler, asiyalotransferrin bandının üzerinde TRF varyantından kaynaklandığı düşünülen ekstra bandı gösterir.

**Tablo 3.** "Multiphor II" cihazı ile "PhastSystem" cihazında belirlenen kontrol materyalinin hedef değerleri ve iki cihaz arasındaki % bias sonuçları.

Seviye	Izoform	Birim	"Phast" Sistem ile belirlenen hedef değer (n=10)	"Multiphor II" ile belirlenen hedef değer (n=20)	% Fark
1	2SA-TRF	%	4,64	4,19	9,69
	4SA-TRF	%	59,93	59,13	1,33
2	2SA-TRF	%	9,16	8,31	9,27
	4SA-TRF	%	54,85	56,03	2,15

**Tablo 4.** "Multiphor II" ve "PhastSystem" ile yapılan yöntem karşılaştırma sonuçları

Izoform	"Phast" Sistem (%) (n=40)		"Multiphor II" (%) (n=40)		r	p*
	Ortalama	s	Ortalama	s		
<b>OSA-TRF</b>	1,50	1,49	1,64	1,68	0,67	0,48
<b>1SA-TRF</b>	0,94	0,89	1,09	1,31	0,63	0,36
<b>2SA-TRF</b>	6,42	3,09	6,25	4,07	0,84	0,61
<b>3SA-TRF</b>	9,78	3,04	9,37	3,20	0,77	0,22
<b>4SA-TRF</b>	55,57	6,20	53,82	7,73	0,65	0,08
<b>5SA-TRF</b>	19,89	2,65	20,52	3,33	0,63	0,14
<b>6SA-TRF</b>	6,06	1,47	6,54	2,21	0,31	0,18



**Şekil 4.** Asiyalotransferrin (OSA-TRF), Monosiyalotransferrin (1SA-TRF), Disiyalotransferrin (2SA-TRF), Trisiyalotransferrin (3SA-TRF), Tetrasiyalotransferrin (4SA-TRF), Pentasiyalotransferrin (5SA-TRF), Hekzasiyalotransferrin (6SA-TRF) ölçümü için iki cihaz arasındaki korelasyon.

## TARTIŞMA

TRF izoformlarının analizinde, yüksek selektivitesi nedeniyle izoelektrik fokuslama elektroforezi (IEF) referans yöntem olarak kullanılır. Bu yöntem moleküllerin uygun pH gradiyenti içinde izoelektrik noktalarına (pI) kadar göç etmeleri ve kendi pI'larında odaklanmaları dolayısıyla o noktada keskin bir bant oluşturmalari prensibine dayanır. IEF'de hem poliakrilamid jel hem de agaroz jel kullanılabilir. Poliakrilamid jel, agaroz jele

oranla daha iyi ayırm sağlar; çünkü ayrılmış hem moleküler elekleme hem de elektroforetik harekete dayanır (35). Poliakrilamid jelin dezavantajı ise akrilamid monomerinin nörotoksin oluşu ve jellerin uygun kalınlık ve içeriğe hazırlanmasının güçlüğüdür (27). Agaroz jelin kullanımının avantajları; porlinin poliakrilamid jelden daha geniş olması ve dolayısıyla 500 kDa'dan daha büyük makromoleküllerin bile ayrılabilmesi, ayırm ve boyanma zamanının kısa olması ve komponentlerinin toksik olmamasıdır (36). Ago-

roz jelin dezavantajı ise poliakrilamid jelden daha güçlü elektroendozmosis etkisinin olmasıdır (27). Çalışmamızda daha iyi bir ayırım sağlayabilmek için her iki sistemde de poliakrilamid jeller tercih edilmiştir.

IEF elektroforezinde, protein göçünü sağlayan temel koşul jeldeki pH gradiyentidir. Bu pH gradiyenti, jelle sonradan ilave edilen serbest taşıyıcı amfolitlerle oluşturulabileceği gibi pH gradiyentli olarak hazırlanmış jeller (immobilize pH gradiyenti) doğrudan da kullanılabilir. Serbest taşıyıcı amfolitlerle oluşturulan pH gradiyentinde, bir grup amfoterik poliaminokarboksilik asit olan taşıyıcı amfolitler kullanılır (26). Bu bileşikler kendi PI değerlerinde; yüksek tamponlama kapasitesi ve çözünürlüğe, aynı zamanda iyi ve düzenli bir iletkenliğe sahiptiler (27). pKa değerleri arasında ise çok az fark vardır. Farklı sayıda (50 ila 100) amfolit karışımı ortama eklendiğinde, her bir amfolit, elektroforez esnasında kendi PI değerine ulaşıcaya kadar göç eder ve böylece pH gradiyenti oluşur (26). Çalışmada kullanılacak amfolit karışımı seçilirken, ayrılması istenen proteinlerin PI'ları göz önünde bulundurulur. Ayrılmış bir pH aralığında (örneğin pH 3-10) yapılabileceği gibi, daha dar bir alanda da (örneğin pH 4-5) gerçekleştirilebilir (35). Dar pH aralığı genellikle yüksek rezolüsyon istendiğinde tercih edilmelidir. Immobilize pH gradiyenti, taşıyıcı amfolitlerin bir takım kısıtlıklarından dolayı, rezolüsyonu ve üretenkenliği artırmak için alternatif bir teknik olarak geliştirilmiştir (26, 27). Gradiyent tamponlanmış akrilamid türevleri ile oluşturulur; immobilinler poliakrilamid jeline akrilamid monomerlerinin ko-polimerizasyonuyla oluşur. Immobilinler, pKa değerleriyle tanımlanan zayıf asit ve bazlardır. İstenilen pH değerinde tamponlanmanın olabilmesi için biri asit diğeri baz olmak üzere en az iki immobilin gereklidir. Jelin immobilinlerle polimerizasyonu esnasında istenilen pH değeri, karışımındaki immobilin oranlarıyla ayarlanır. Immobilin oranlarının sürekli değiştirilmesiyle pH gradiyenti elde edilir (27). Immobilize pH gradiyenti, taşıyıcı amfolitlerle oluşturulmuş gradiyente göre; yüksek rezolüsyon, katodik kaymanın olmayışı, değişmeyen düzenli iletkenlik ve tamponlama

kapasitesi, kontrollü iyonik güç gibi birçok avantaja sahiptir (37). Bu avantajları nedeniyle çalışmamızda immobilize pH gradiyentli jeller tercih edilmiştir.

IEF için ısı kontrolünün sağlanması ve etkin soğutma yapılması önemlidir. IEF işleminde keskin bantlar elde edilebilmesi için elektriksel alan gücünün yüksek olması gereklidir. Bu nedenle yeterli voltajı sağlayabilen ve çok fazlı bir IEF protokolünü otomatik olarak programlayabilen bir güç kaynağı kullanılır (38). Çalışmamızda denenen her iki cihaz da bu gereklilikleri karşılamaktadır. Bununla birlikte "PhastSystem" programlanan elektroforetik güçe ulaştığında kendiliğinden alarm verebilen hızlı ve daha otomatize bir cihazdır.

Analitik sebepler dışında, genetik TRF varyantlarının serumdaki varlığının da CDT düzeylerini etkileyerek yanlış yüksek ya da düşük sonuçlara yol açtığı gösterilmiştir (39). Yanlış yüksek CDT düzeylerinin nedeni, transferrin D varyantının CDT olmayan izoformlarının, kromatografik yöntemlerde transferrin C varyantının CDT izoformları ile beraber elüe olması ya da IEF'de bu izoformlarla beraber aynı izoelektrik noktada odaklanmasıdır (14, 40, 41). TRF B varyantının CDT izoformları ise TRF C'ye kıyasla artmış elektroforetik mobilitesi nedeni ile, TRF C varyantının CDT olmayan izoformları ile beraber elüe olurlar ve yanlış negatif sonuçlara yol açarlar (14). IEF yönteminde; izoformlardan herhangi birinde, alışılmış paternlerin dışında bir yükseklikle karşılaşıldığında, bu durumun TRF varyantından kaynaklandığı şüphesine düşülsürse örnek nöraminidaz ile muamele edilerek sonuç kesinleştirilir (42). Nöraminidaz TRF'deki terminal siyalik asit rezidülerini yıkın enzimdir. Kişi TRF varyantları açısından homozigot ise nöraminidazla muameleden sonra asiyalotransferrin bölgesinde tek bir bant, heterozigot ise bu banta ilave olarak asiyalotransferrin bölgesinin altında ya da üstünde bir bant daha (Şekil 5) görülür (43). Böylece IEF yönteminde varyantların ölçüm üzerindeki interferansı ortadan kaldırılmış olur. Biz de çalışmamızda iki örneğin transferrin izoform paternlerinin normalden farklı oluşu nedeni ile bu örneklerde TRF varyantı olabileceğini

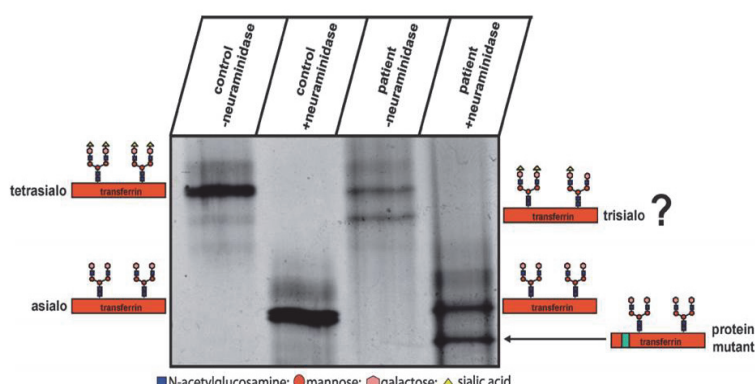
düşündük. Bu örnekleri nöraminidazla mücadele ettiğimizde asiyalotransferrin bölgesindeki bant dışında ilave bir bant daha gördük (Şekil 3). Bu durum bize olgularımızdaki anormal paternin büyük olasılıkla TRF varyantından kaynaklandığını gösterdi.

TRF molekülünün çeşitli varyantlarının olması kadar farklı sayıarda demir iyonu bağlayabilmesi de izoformların pl'larına etki ederek ölçümü interfere edebilir (14). Bu nedenle yöntemimizin örnek hazırlığı aşamasında serum örnekleri demir ile doyurulup tüm izoformlar Fe<sub>2</sub>-TRF haline getirilerek bu etki ortadan kaldırılmıştır.

Bu çalışmada tekrarlanabilirlik ve doğruluk, serumda en çok bulunan TRF izoformu olan tetrasiyalotransferrin ve gerek katabolik süreçlerde gerekse alkolizmde bir belirteç olarak tanımlanan CDT'nin en büyük kısmını oluşturan disiyalotransferrin izoformlarını kullanılarak hesaplandı. Jel içi ve jeller arası tekrarlanabilirlik sonuçları değerlendirildiğinde her iki cihazda da yöntem kesinliğinin tatmin edici düzeylerde olduğunu söylemek mümkündür (Tablo 1 ve 2).

Ticari olarak bulunabilen kontrol materyalinin hedef değerleri HPLC yöntemine göre tanımlanmıştır. Transferrin izoformlarının oransal dağılımının kullanılan yönteme bağlı olarak değişkenlik gösterdiği ve TRF izoformlarının analizinde HPLC'nin İEF elektroforezine kıyasla daha kesin ancak duyarlılığı daha düşük bir yöntem olduğu bilinmektedir (14, 44). Bu çalışmada İEF elektroforezi ile saptanan değerlerin kontrol materyalinin belirtilen hedef değerlerine kıyasla a-, mono-

ve disiyalotransferrin izoformları için daha yüksek, tetrasiyalotransferrin izoformu için ise daha düşük olmasının iki yöntemin duyarlılıklarını arasındaki farktan kaynaklanabileceğini düşünüldü. Buna ek olarak, tüm TRF izoformlarının saptanılmasına olanak sağlayan serum miktarı jele uygulandığında tetrasiyalotransferrin açısından aşırı bir yüklenme olup tetrasiyalotransferrin bant intensitelerinin değerlendirilmesinde linearite kaybı ortaya çıkabilir ve dolayısıyla bu ana izoforma ait bantın intensitesi bu bantı oluşturan transferrin miktarı ile korele olamayabilir. Transferrin izoformları ile toplam transferrin düzeyi arasındaki ilişki incelenliğinde transferrinin disiyalotransferrin ile pozitif buna karşın tetrasiyalotransferrin ile negatif korelasyon göstermesi de açıklanan analitik koşullara bağlı olabilir. Tüm izoformlara yönelik bir referans materyali mevcut olmadığı gibi CDT analizi için sadece disiyalotransferrine yönelik olarak sertifiye referans materyal gelştirilmesi çalışmaları sürdürmektedir (44, 45). Bu durumda, HPLC yöntemi için tanımlanmış olan hedef değerleri kullanmak yerine benzer elektroforetik yöntemler için önerilen ve kalitatif yöntemler için de geçerli olan bir kavramdan yola çıkarak pik alanlarının tekrarlanabilirliğinin bir doğruluk göstergesi olabileceği (46) kabul ettik ve "PhastSystem" ve "Multiphor II" için aynı kontrol materyalini ard arda analiz ederek ortalama değerleri bulduk. Bu değerleri kıyasladığımızda "Multiphor II" sisteminin "PhastSystem" cihazına göre disiyalotransferrin ve tetrasiyalotransferrin için gösterdiği sapmanın (Tablo 3) kabul edilir olduğu düşünüldü.



**Şekil 5.** Transferrin proteinindeki mutasyonların nöraminidaz ile saptanması (33)

40 örnek ile yapılan iki cihaz arasındaki korelasyon analizinde her bir izoform için anlamlı korelasyonun varlığı gösterilmiştir. CDT'nin komponentleri olan OSA, 1SA ve 2SA'da ayrıca en fazla miktarda bulunan 4SA'da oldukça yüksek korelasyon saptanmış, buna karşın 6SA'da anlamlı olsa da korelasyonun düşük olduğu gözlenmiştir (Tablo 4, Şekil 4). Bu durum, gümüş boyadan kaynaklanan koyu renk arka planın etkisiyle, "PhastSystem" cihazında çalışılan jellerde altı siyalik asitli izoformların iyi değerlendirilememesinden kaynaklanabilir. "Phast" Sistem'de gümüş boyadan kaynaklanan koyu renk arka planın etkisiyle 7 SA-TRF değerlendirilememiştir ve bu nedenle bu bant için yöntem karşılaştırma yapılmamıştır.

Sonuç olarak, transferrin izoformlarının izoelektrik odaklama elektroforezi "Multiphor II" ve "PhastSystem" cihazları ile gerçekleştirildiğinde uyumlu sonuçlar elde edilmekte olup her iki sistemde de transferrin izoform analizi gerçekleştirilebilir. Rutin laboratuvar uygulamalarında hızı nedeniyle "PhastSystem" tercih edilebilir.

## KAYNAKLAR

- Gu J, Taniguchi N. Potential of N-glycan in cell adhesion and migration as either a positive or negative regulator. *Cell adhesion & migration.* 2008 Oct-Dec;2(4):243-5. PubMed PMID: 19262156. Pubmed Central PMCID: 2633684.
- Grunewald S. Congenital disorders of glycosylation: rapidly enlarging group of (neuro)metabolic disorders. *Early human development.* 2007 Dec;83(12):825-30. PubMed PMID: 17959325.
- Taniguchi N, Korekane H. Branched N-glycans and their implications for cell adhesion, signaling and clinical applications for cancer biomarkers and in therapeutics. *BMB reports.* 2011 Dec;44(12):772-81. PubMed PMID: 22189679.
- Pamela C, Champe RAH, Denise R, Ferrier. Glycosaminoglycans and Glycoproteins. Lippincott's Illustrated Reviews: Biochemistry Vol., 2007:155-71
- O'Brien JF. Methods for detection of carbohydrate-deficient glycoprotein syndromes. *Seminars in pediatric neurology.* 2005 Sep;12(3):159-62. PubMed PMID: 16584075.
- Jaeken J, Carchon H. Congenital disorders of glycosylation: a booming chapter of pediatrics. *Current opinion in pediatrics.* 2004 Aug;16(4):434-9. PubMed PMID: 15273506.
- Markova E, Albahri Z. Screening and diagnosis of congenital disorders of glycosylation. *Clinica chimica acta; international journal of clinical chemistry.* 2007 Oct;385(1-2):6-20. PubMed PMID: 17716641.
- Freeze HH. Understanding human glycosylation disorders: biochemistry leads the charge. *The Journal of biological chemistry.* 2013 Mar 8;288(10):6936-45. PubMed PMID: 23329837. Pubmed Central PMCID: 3591604.
- van Eijk HG, van Noort WL, de Jong G, Koster JF. Human serum sialo transferrins in diseases. *Clinica chimica acta; international journal of clinical chemistry.* 1987 Jun 15;165(2-3):141-5. PubMed PMID: 3652443.
- Pronicka E, Adamowicz M, Kowalik A, Ploski R, Radomyska B, Rogaszewska M, et al. Elevated carbohydrate-deficient transferrin (CDT) and its normalization on dietary treatment as a useful biochemical test for hereditary fructose intolerance and galactosemia. *Pediatric research.* 2007 Jul;62(1):101-5. PubMed PMID: 17515832.
- Quintana E, Sturiale L, Montero R, Andrade F, Fernandez C, Couce ML, et al. Secondary disorders of glycosylation in inborn errors of fructose metabolism. *Journal of inherited metabolic disease.* 2009 Dec;32 Suppl 1:S273-8. PubMed PMID: 19768653.
- Piagnerelli M, Boudjeltia KZ, Nuyens V, De Backer D, Su F, Wang Z, et al. Rapid alterations in transferrin sialylation during sepsis. *Shock.* 2005 Jul;24(1):48-52. PubMed PMID: 15988320.
- Gornik O, Gornik I, Kolednjak IZ, Lauc G. Change of transferrin sialylation differs between mild sepsis and severe sepsis and septic shock. *Internal medicine.* 2011;50(8):861-9. PubMed PMID: 21498934.
- Arndt T. Carbohydrate-deficient transferrin as a marker of chronic alcohol abuse: a critical review of preanalysis, analysis, and interpretation. *Clinical chemistry.* 2001 Jan;47(1):13-27. PubMed PMID: 11148172.
- Stibler H, Borg S. Carbohydrate composition of serum transferrin in alcoholic patients. *Alcoholism, clinical and experimental research.* 1986 Jan-Feb;10(1):61-4. PubMed PMID: 3515994.
- Arndt T, Erkens M, Holtkamp K, Keller T, Gressner AM. High prevalence of increased trisialotransferrin concentrations in patients with anorexia nervosa: implications for determination of carbohydrate-deficient transferrin. *Clinica chimica acta; international journal of clinical chemistry.* 2007 Apr;379(1-2):150-3. PubMed PMID: 17291470.
- Reif A, Fallgatter AJ, Schmidke A. Carbohydrate-deficient transferrin parallels disease severity in anorexia nervosa. *Psychiatry research.* 2005 Nov 15;137(1-2):143-6. PubMed PMID: 16243401.
- Reif A, Keller H, Schneider M, Kamolz S, Schmidke A, Fallgatter AJ. Carbohydrate-deficient transferrin is elevated in catabolic female patients. *Alcohol and alcoholism.* 2001 Nov-Dec;36(6):603-7. PubMed PMID: 11704629.

19. Hackler R, Arndt T, Helwig-Rolig A, Kropf J, Steinmetz A, Schaefer JK. Investigation by isoelectric focusing of the initial carbohydrate-deficient transferrin (CDT) and non-CDT transferrin isoform fractionation step involved in determination of CDT by the ChronAlcol.D. assay. *Clinical chemistry*. 2000 Apr;46(4):483-92. PubMed PMID: 10759472.
20. Stibler H, Kjellin KG. Isoelectric focusing and electrophoresis of the CSF proteins in tremor of different origins. *Journal of the neurological sciences*. 1976 Dec;30(2-3):269-85. PubMed PMID: 63543.
21. Fagan KJ, Irvine KM, McWhinney BC, Fletcher LM, Horsfall LU, Johnson L, et al. Diagnostic sensitivity of carbohydrate deficient transferrin in heavy drinkers. *BMC gastroenterology*. 2014;14:97. PubMed PMID: 24885510. Pubmed Central PMCID: 4042141.
22. Stibler H, Borg S, Joustra M. Micro anion exchange chromatography of carbohydrate-deficient transferrin in serum in relation to alcohol consumption (Swedish Patent 8400587-5). *Alcoholism, clinical and experimental research*. 1986 Oct;10(5):535-44. PubMed PMID: 3099592.
23. Quintana E, Navarro-Sastre A, Hernandez-Perez JM, Garcia-Villoria J, Montero R, Artuch R, et al. Screening for congenital disorders of glycosylation (CDG): transferrin HPLC versus isoelectric focusing (IEF). *Clinical biochemistry*. 2009 Mar;42(4-5):408-15. PubMed PMID: 19146845.
24. Jaeken J, Matthijs G. Congenital disorders of glycosylation: a rapidly expanding disease family. *Annual review of genomics and human genetics*. 2007;8:261-78. PubMed PMID: 17506657.
25. Van Scherpenzeel M, Willems E, Lefever DJ. Clinical diagnostics and therapy monitoring in the congenital disorders of glycosylation. *Glycoconjugate journal*. 2016 Jan 7. PubMed PMID: 26739145.
26. Raymond Karcher JPL. Electrophoresis. In: Carl A. Burtis ERA DEB, ed. *Tietz textbook of clinical chemistry and molecular diagnostics*, Vol. 4th ed: Elsevier Saunders Press, 2006:121-41.
27. Westermeier R. Isoelectric focusing electrophoresis in practice Vol. 4th ed: Wiley VCH Verlag mbH & Co. KGaA, 2005:51-67.
28. D'Alessandro AM, D'Andrea G, Oratore A. Different patterns of human serum transferrin on isoelectric focusing using synthetic carrier ampholytes or immobilized pH gradients. *Electrophoresis*. 1988 Feb;9(2):80-3. PubMed PMID: 3234341.
29. de Jong G, van Eijk HG. Microheterogeneity of human serum transferrin: a biological phenomenon studied by isoelectric focusing in immobilized pH gradients. *Electrophoresis*. 1988 Sep;9(9):589-98. PubMed PMID: 3243256.
30. Pascali VL, Dobosz M, Destro-Bisol G, D'Aloja E. Characterization of genetic variants of human serum transferrin by isoelectric focusing: comparison between conventional and immobilized pH gradients, and application to a protocol for paternity testing. *Electrophoresis*. 1988 Aug;9(8): 411-7. PubMed PMID: 3234383.
31. Strahler JR, Hanash SM, Somerlot L, Bjellqvist B, Gorg A. Effect of salt on the performance of immobilized pH gradient isoelectric focusing gels. *Electrophoresis*. 1988 Feb;9(2):74-80. PubMed PMID: 3234340.
32. Petren S, Vesterberg O. Separation of different forms of transferrin by isoelectric focusing to detect effects on the liver caused by xenobiotics. *Electrophoresis*. 1989 Aug-Sep;10(8-9):600-4. PubMed PMID: 2806210.
33. Nenad Blau MD, K. Michael Gibson. *Congenital Disorders of Glycosylation. Laboratory Guide to the Methods in Biochemical Genetics*, Vol. 2008:379-417
34. van Eijk HG, van Noort WL. The analysis of human serum transferrins with the PhastSystem: quantitation of microheterogeneity. *Electrophoresis*. 1992 Jun;13(6):354-8. PubMed PMID: 1505496.
35. G. T. Protein izolasyonu AvSITGA, ed. *Moleküler Biyolojide Kullanılan Yöntemler*, Vol. 3th ed. İstanbul: Nobel Tip Kitabevleri Ltd.Şti, 2008:161-273.
36. Anani WQ, Ojerholm E, Shurin MR. Resolving Transferrin Isoforms via Agarose Gel Electrophoresis. *Laboratory medicine*. 2015 Winter;46(1):26-33. PubMed PMID: 25617389.
37. Bjellqvist B, Ek K, Righetti PG, Gianazza E, Gorg A, Westermeier R, et al. Isoelectric focusing in immobilized pH gradients: principle, methodology and some applications. *Journal of biochemical and biophysical methods*. 1982 Sep;6(4):317-39. PubMed PMID: 7142660.
38. <http://www.gelifesciences.com> (GE Healthcare Life Sciences)
39. Zuhlsdorf A, Said M, Seger C, Park JH, Reunert J, Rust S, et al. It Is Not Always Alcohol Abuse-A Transferrin Variant Impairing the CDT Test. *Alcohol and alcoholism*. 2016 Mar;51(2):148-53. PubMed PMID: 26333807.
40. Stibler H. Carbohydrate-deficient transferrin in serum: a new marker of potentially harmful alcohol consumption reviewed. *Clinical chemistry*. 1991 Dec;37(12):2029-37. PubMed PMID: 1764777.
41. Arndt T, Keller T. Carbohydrate-deficient transferrin and anorexia nervosa. *Psychiatry research*. 2006 Nov 15;144(2-3):245-6; author reply 7-8. PubMed PMID: 16945425.
42. Zuhlsdorf A, Park JH, Wada Y, Rust S, Reunert J, DuChesne I, et al. Transferrin variants: pitfalls in the diagnostics of Congenital disorders of glycosylation. *Clinical biochemistry*. 2015 Jan;48(1-2):11-3. PubMed PMID: 25305627.
43. Perez-Cerda C, Quelhas D, Vega AI, Ecay J, Vilarinho L, Ugarte M. Screening using serum percentage of carbohydrate-deficient transferrin for congenital disorders of glycosylation in children with suspected metabolic disease. *Clinical chemistry*. 2008 Jan;54(1):93-100. PubMed PMID: 18024528.

44. Jeppsson JO, Arndt T, Schellenberg F, Wielders JP, Anton RF, Whitfield JB, et al. Toward standardization of carbohydrate-deficient transferrin (CDT) measurements: I. Analyte definition and proposal of a candidate reference method. *Clinical chemistry and laboratory medicine: CCLM / FESCC.* 2007; 45(4):558-62. PubMed PMID: 17439340.
45. Weykamp C, Wielders JP, Helander A, Anton RF, Bianchi V, Jeppsson JO, et al. Toward standardization of carbohydrate-deficient transferrin (CDT) measurements: III. Performance of native serum and serum spiked with disialotransferrin proves that harmonization of CDT assays is possible. *Clinical chemistry and laboratory medicine : CCLM / FESCC.* 2013 May;51(5):991-6. PubMed PMID: 23241602.
46. Ross GA. Instrumental validation in capillary electrophoresis and checkpoints for method validation. *Accred Qual Assur.* 1997;2:275-84.

---

**Yazışma adresi:**

Özlem Gürsoy Çalan  
Dokuz Eylül Üniversitesi Tıp Fakültesi  
Tıbbi Biyokimya Anabilim Dalı, İZMİR  
E-mail: ozlemgursoy2008@gmail.com

---